

„Euclidean minimum spanning trees and bichromatic closest pairs“

Seminar im SS 2003

ILKD Wagner

Fakultät für Informatik

Universität Karlsruhe

Betreuer :
Alexander Wolff
Marc Benkert

Bearbeitet von Khoder El-Zein

Euklidischer Minimaler Spannbaum

Gegeben:

- $V = \{v_1, v_2, \dots, v_N\}$ - Menge con Punkten (Knoten)
im d-dimensionalen Euklidischen Raum E^d , $N = \text{card}(V)$.
- $L : \{v_i, v_j\} \rightarrow [0, \infty)$ - Kantenbewertung (Euklidischer Abstand)

Gesucht:

Euklidischer Minimaler Spannbaum (EMST) (V, E'):

- (V, E') ist ungerichteter Baum
- $\text{card}(E') = N - 1$
- Summe der Kantenlängen von (V, E') hat den kleinstmöglichen Wert.

Bichromatic closest pairs (BCP)

Gegeben

Eine Menge S von n roten und m grünen Punkten im d -dimensionalen Euklidischen Raum E^d .

Gesucht

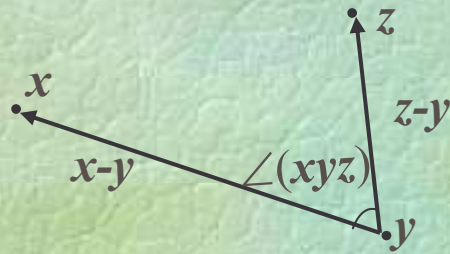
Ein **bichromatisches nächstes Paar**:

ein roter Punkt r und ein grüner g so, dass der Abstand zwischen r und g minimal unter allen rot-grün Paaren ist.

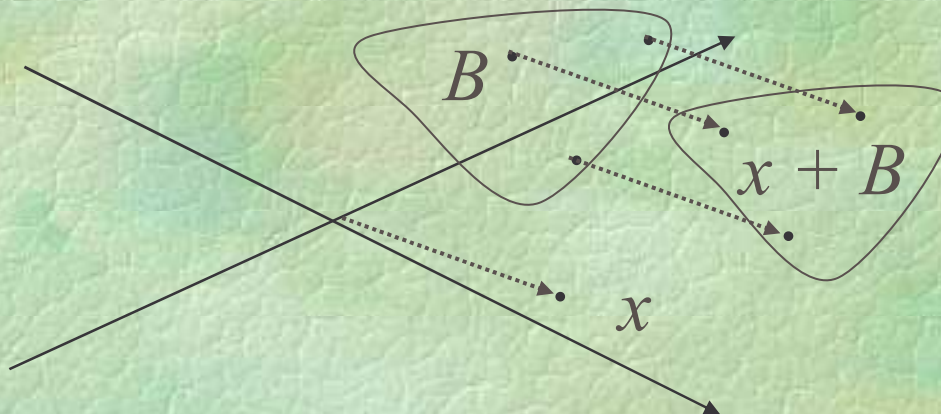
Notation

- Winkel zwischen x und y ist $\angle(x, y) = \arccos x^T y / (\|x\| \cdot \|y\|)$.

- $\angle(xyz) := \angle(z-y, x-y)$.

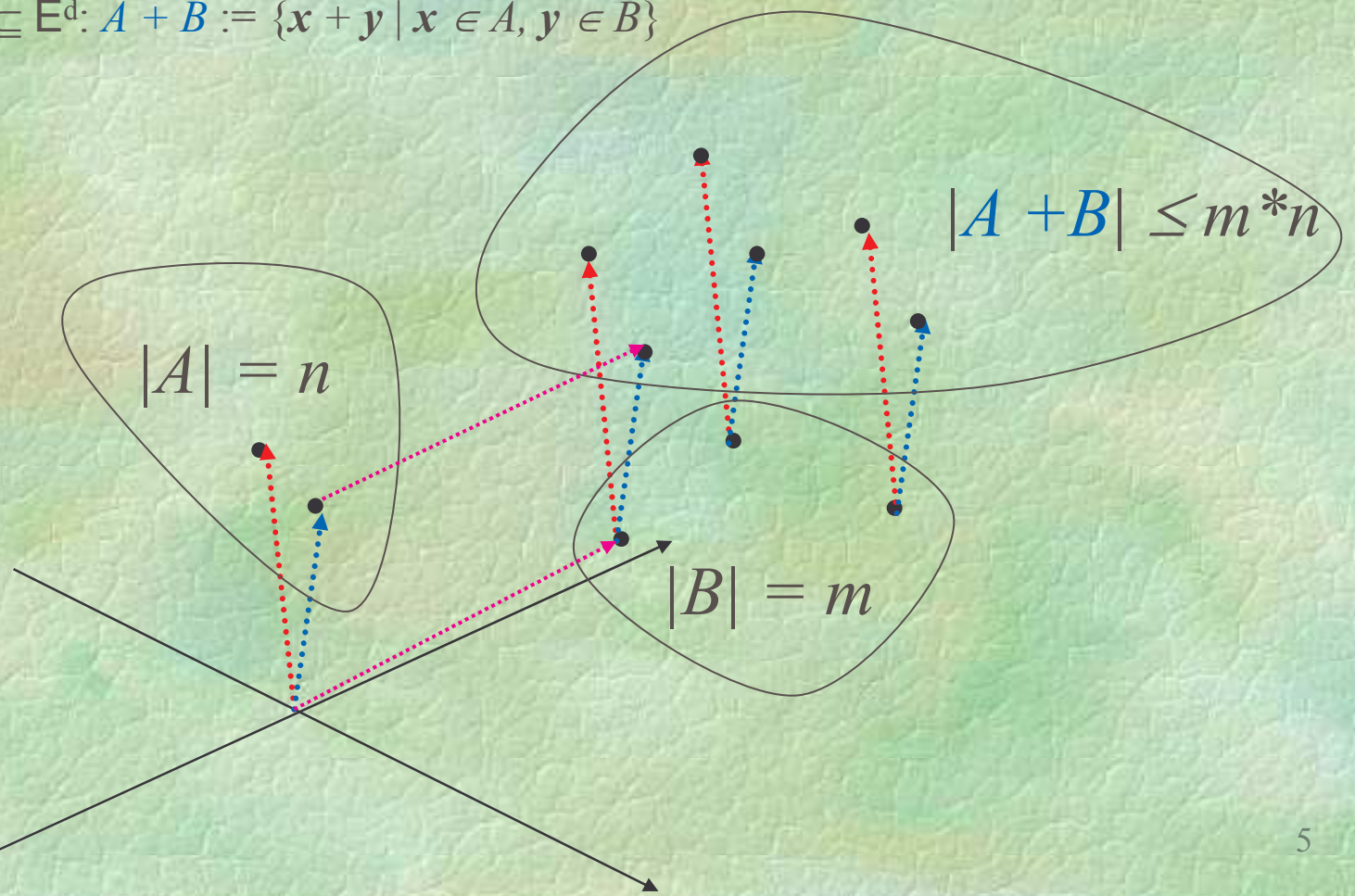


- $x + B := \{x\} + B$.



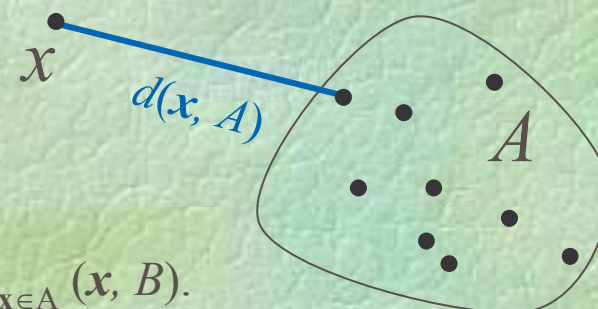
Notation

- $A, B \subseteq \mathbb{E}^d: A + B := \{x + y \mid x \in A, y \in B\}$

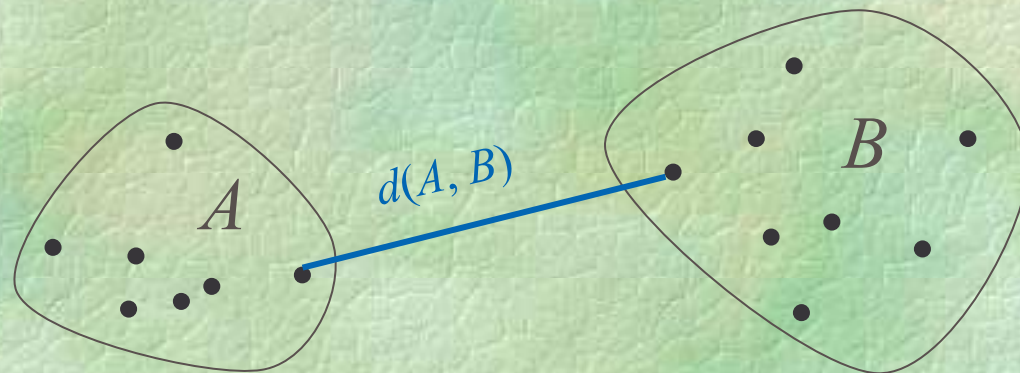


Notation

- A endlich $\subseteq E^d$: $d(x, A) := \min_{y \in A} d(x, y)$.



- $A, B \subseteq E^d$: $d(A, B) := \min_{x \in A} (x, B)$.

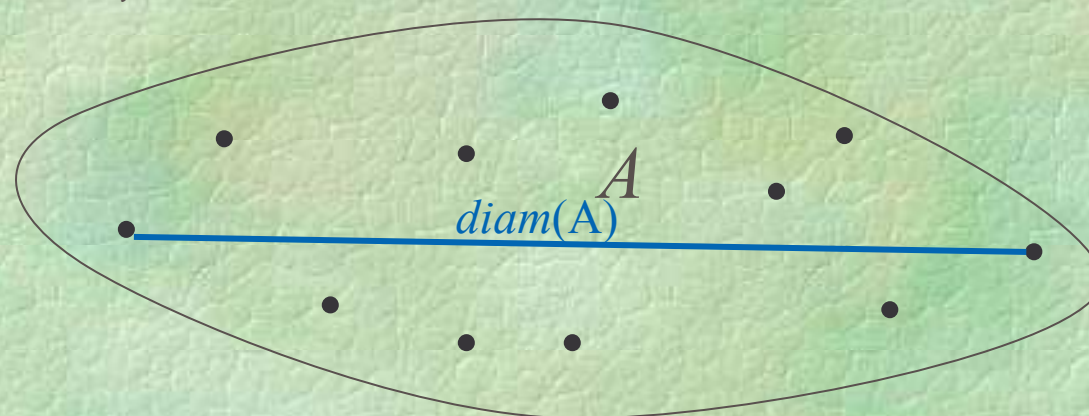


Notation

- nächstes (A, B) -Paar: (x, y) mit $x \in A, y \in B$ und $d(x, y) = d(A, B)$.

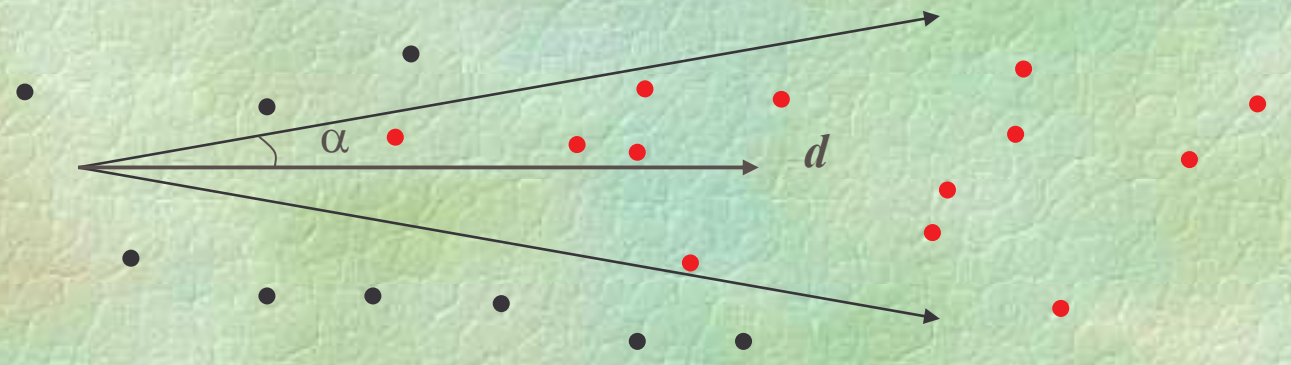


- $\text{diam}(A) := \max_{x, y \in A} d(x, y)$.



Notation

- $Cone(d, \alpha) := \{ x \in E^d / \angle(x, d) \leq \alpha \}$ $d \in E^d$ ein Einheitsvektor und $\alpha < 90^\circ$ ein Winkel.

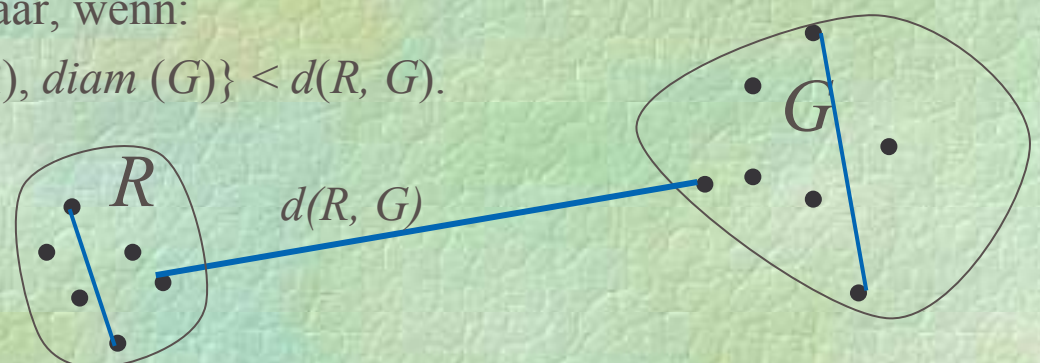


- Ab jetzt: α fest, $0 < \alpha < \alpha_0$, mit $\tan 2\alpha < \cos 2\alpha$.
 $(\alpha_0 = (\arcsin(\sqrt{5} - 1)/2)/2 \text{ ca. } 19.08^\circ)$.

Notation

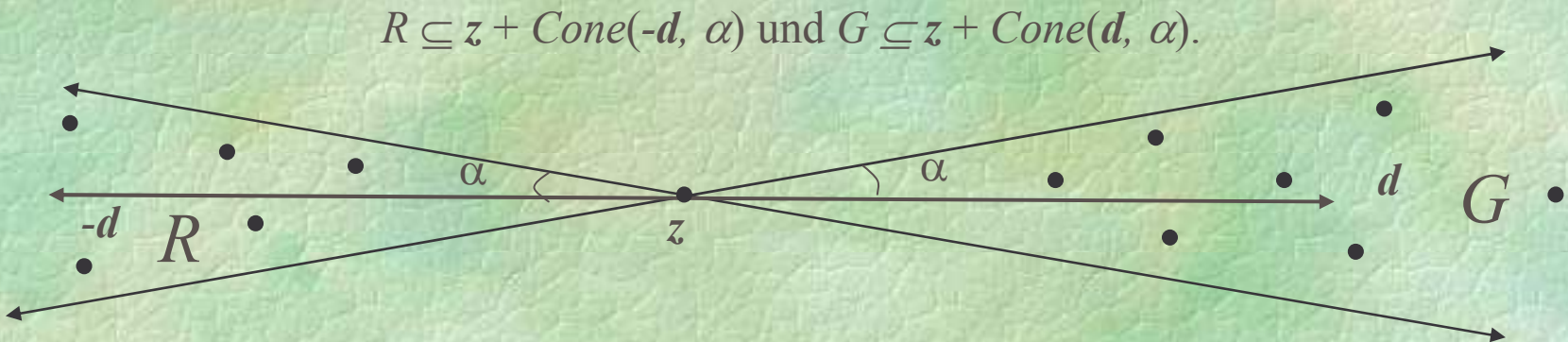
- (R, G) ist ein *stark separiertes* Paar, wenn:

$$\max \{ \text{diam}(R), \text{diam } (G) \} < d(R, G).$$



- (R, G) ist ein *α -separiertes* Paar: $\exists z \in E^d, \exists d \in E^d$ Einheitsvektor, wenn:

$$R \subseteq z + \text{Cone}(-d, \alpha) \text{ und } G \subseteq z + \text{Cone}(d, \alpha).$$



Stark separierte Paare und EMST

Lemma 1.

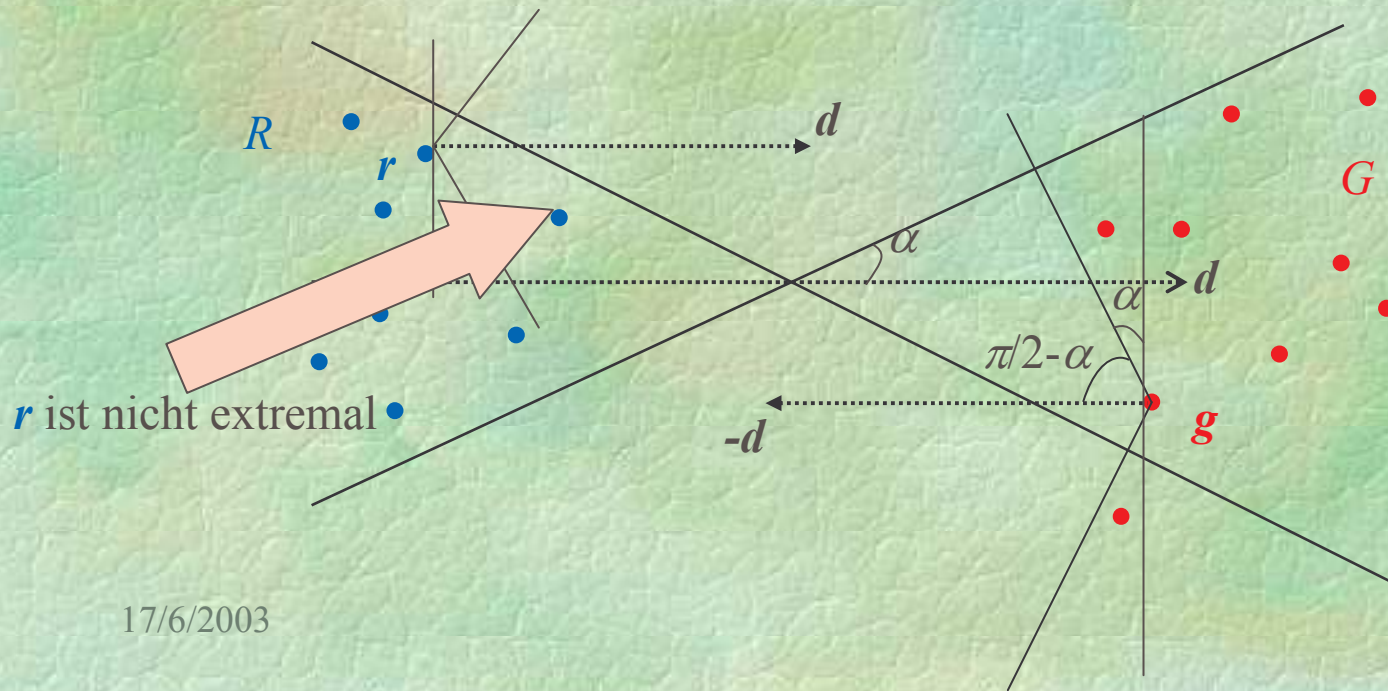
- E eine Kantenmenge von S , die jeden EMST von S enthält
- B eine Menge von stark separierten Paaren (R, G) :
 \forall Kanten $\{r, g\}$ $\exists (R, G) \in B$: $r \in R$ und $g \in G$

Enthält $M \subseteq E$ ein nächstes (R, G) -Paar für jedes $(R, G) \in B$, dann enthält M einen EMST von S .

Notation

Sei (R, G) , $R, G \in S$, α -separiert in Richtung d :

- $r \in R$ heißt *extremal*, wenn $r + \text{Cone}(d, \pi/2 - \alpha)$ kein Element aus R enthält.
- $g \in G$ heißt *extremal*, wenn $g + \text{Cone}(-d, \pi/2 - \alpha)$ kein Element aus G enthält.
- Wir bezeichnen die Mengen der extremalen Elemente mit R' und G' .



EMST und extreme Elemente

Lemma 2.

- $(R, G), R, G \subseteq S$, ein α -separiertes Paar,

Ist $\{r, g\}$, $r \in R, g \in G$, eine Kante in einem EMST von S ,
so ist $r \in R'$ und $g \in G'$.

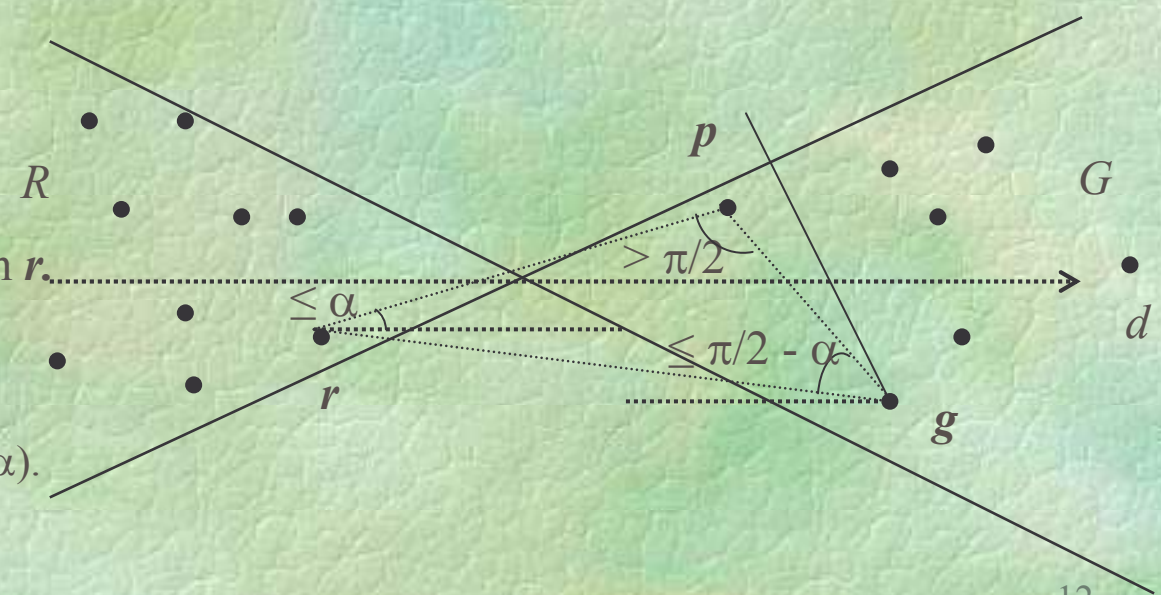
Beweis:

g ist nächster Nachbar von r .

Annahme:

g ist nicht extremal:

$p \in g + \text{Cone}(-d, \pi/2 - \alpha)$.



Extremale Elemente und separierte Paare

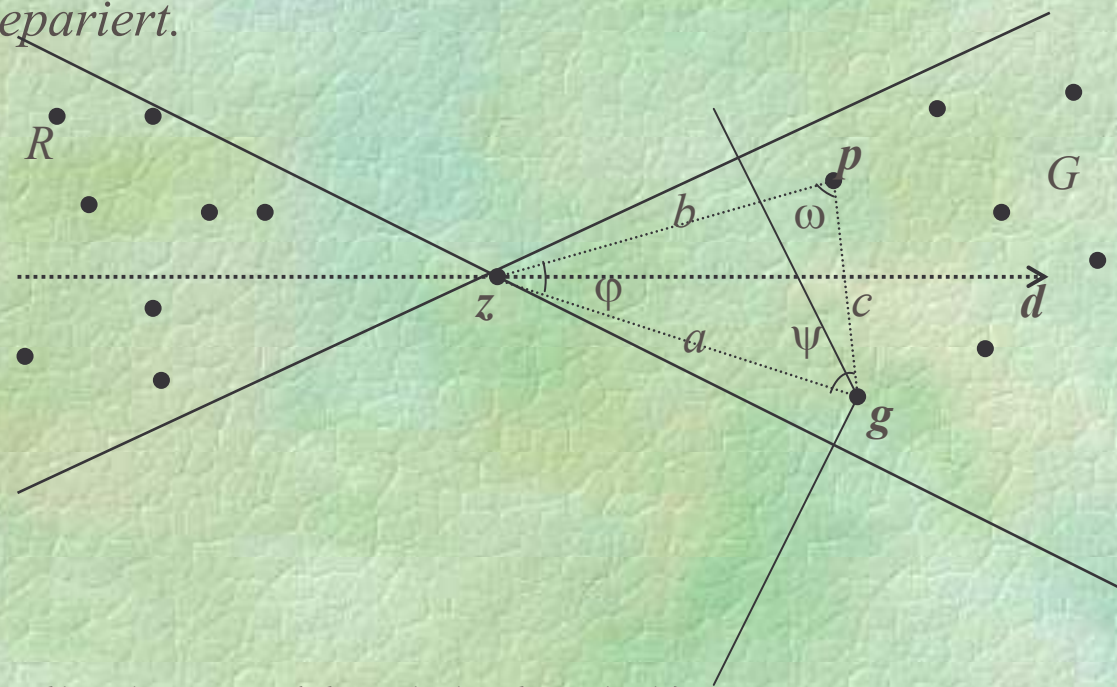
Lemma 3.

Ist (R', G') ein α -separiertes Paar von extremalen Elementen, dann ist (R', G') stark separiert.

Beweis:

$$\left. \begin{array}{l} \forall g', g'' \in G': \\ d(g', g'') < d(z, G'). \\ \forall r', r'' \in R': \\ d(r', r'') < d(z, R') \end{array} \right\} \Rightarrow d(r, g) > \max \{ \text{diam}(R'), \text{diam}(G') \}.$$

17/6/2003



α -separierte Paare und nächste Paare

Lemma 4.

- B eine Menge von α -separierten Paaren mit:
für jedes Paar $r, g \in S$ existiert ein Paar $(R, G) \in B$ mit $r \in R$ und $g \in G$.

Existiert eine Kantenmenge M ,
die ein nächstes (R, G) Paar für jedes $(R, G) \in B$ enthält,
dann enthält M einen EMST von S .

B Menge von α -separierten Paaren: $\forall \{r, g\} \exists (R, G) \in B$.
 M enthält ein nächstes (R, G) -Paar für jedes $(R, G) \in B$.

$$E = \{ \{r', g'\} : (R', G') \text{ } \alpha\text{-separiert} \}$$

$$B' = \{ \alpha\text{-separierte } (R', G') \}$$

L2

(R, G) α -separiert.
 $\{r, g\}$ Kante in einem
 EMST $\Rightarrow r \in R'$ und $g \in G'$

L3

(R', G') α -separiert \Rightarrow
 (R', G') stark separiert.

nächstes Paar von (R, G)
 ist nächstes von (R', G')

E enthält jeden
 EMST von S

$B' = \{(R', G') : (R, G) \in B$ stark separiert}

L1

jeder EMST aus E, $B = \{(R, G)$ stark separiert: $\forall \{r, g\} \in E \exists (R, G)\}$
 Enthält $M \subseteq E$ ein nächstes (R, G) -Paar für jedes $(R, G) \Rightarrow M$ enthält einen EMST.

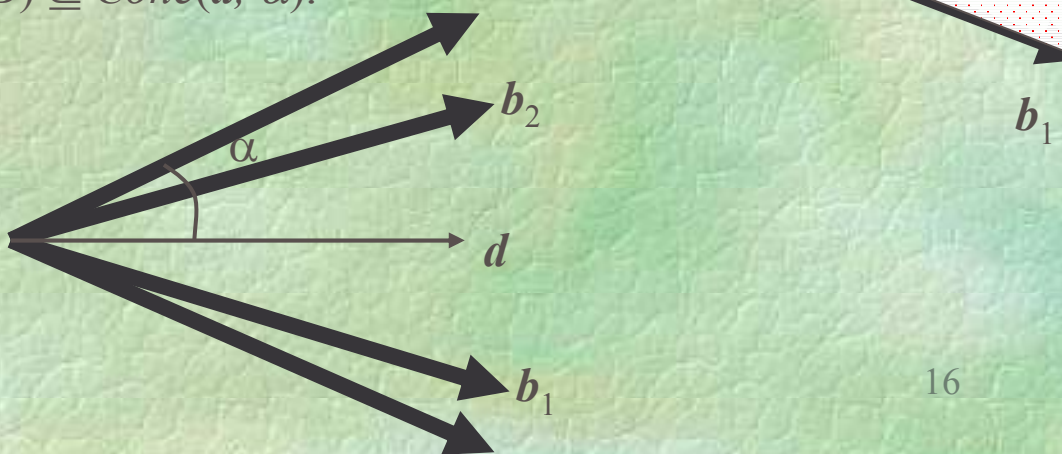
Notation

$B = \{b_1, b_2, \dots, b_d\}$ eine Basis von E^d ,

- **Konvexer Kegel:**

$$Conv(B) := \{\sum_{i=1}^d \lambda_i b_i : \lambda_i \geq 0, \forall i\}.$$

- $Conv(B)$ heißt eng: $Conv(B) \subseteq Cone(d, \alpha)$.



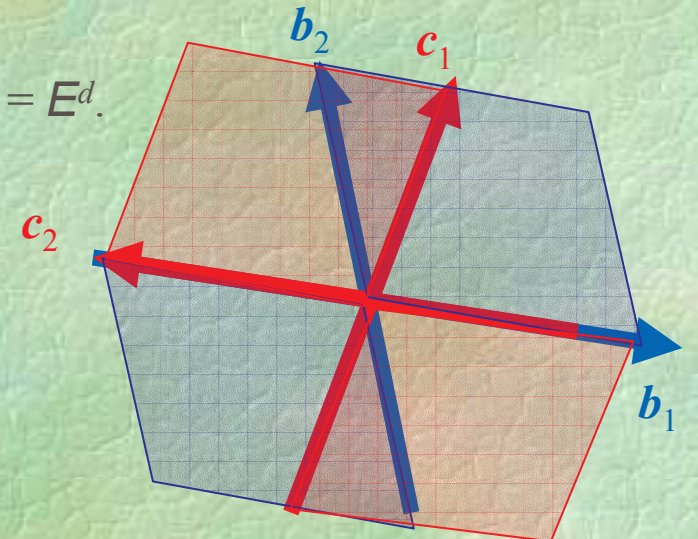
Notation

F eine endliche Familie von Basen.

- F heißt **Fächer** von E^d :

$$\cup_{B \in F} (Conv(B) \cup -Conv(B)) = E^d.$$

- F heißt **eng**, wenn jedes $Conv(B)$ aus F eng ist.



Bemerkung: Wir können für jede Dimension einen engen Fächer in endlicher Anzahl von Schritten konstruieren.

Algorithmus für α -separierte Paare

$\forall B \in \mathcal{F}$ berechnen wir eine Menge B_B von α -separierten Paaren.
Keine 2 Punkte von S besitzen eine gemeinsame Koordinate bzgl. B .

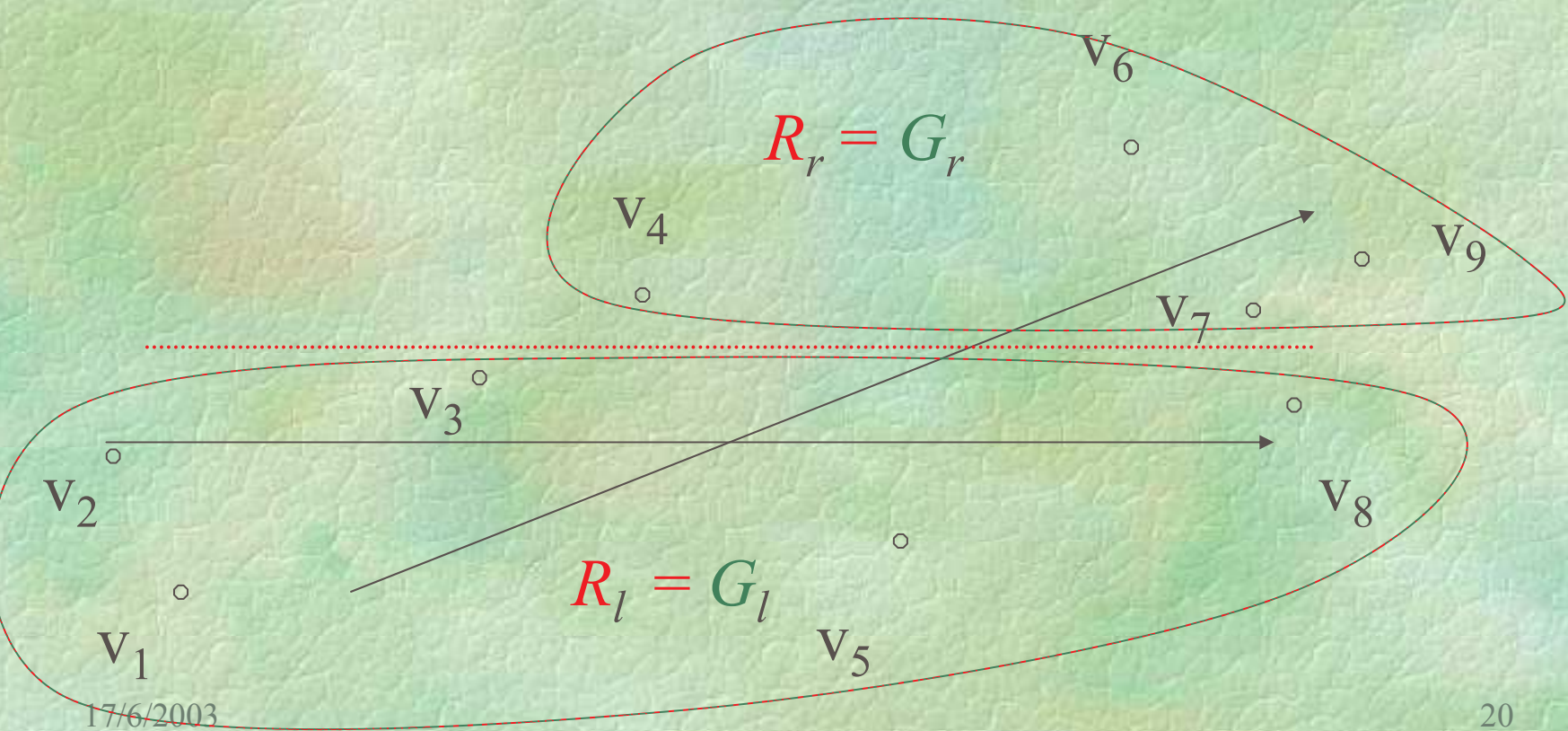
- Der Algorithmus ist rekursiv.
- Eingabe: Dimension $k \leq d$,
Menge von roten Punkten R ,
Menge von grünen Punkten G aus E^d .
- Am Anfang ist $k = d$ und $R = G = S$.
- Jeder rekursive Aufruf reduziert entweder die Anzahl der Punkte oder die Dimension.
- Wenn $k = 0$, werden die α -separierten Paare ausgegeben.

Algorithmus $\alpha\text{-sep}(k, R, G)$

- if $k = 0$, then output (R, G) as an α -seperated pair.
- Otherwise :
 - $x_k :=$ median of the k -th coordinate of $R \cup G$.
 - $R_l := \{ r \in R / r_k \leq x_k \},$
 $R_r := \{ r \in R / r_k > x_k \},$
 $G_l := \{ g \in G / g_k \leq x_k \},$
 $G_r := \{ g \in G / g_k > x_k \}.$
 - If $R_l \neq \emptyset$ and $G_r \neq \emptyset$, then $\alpha\text{-sep}(k-1, R_l, G_r)$.
 - If $R_l \neq \emptyset$ and $G_l \neq \emptyset$, then $\alpha\text{-sep}(k, R_l, G_l)$.
 - If $R_r \neq \emptyset$ and $G_r \neq \emptyset$, then $\alpha\text{-sep}(k, R_r, G_r)$.

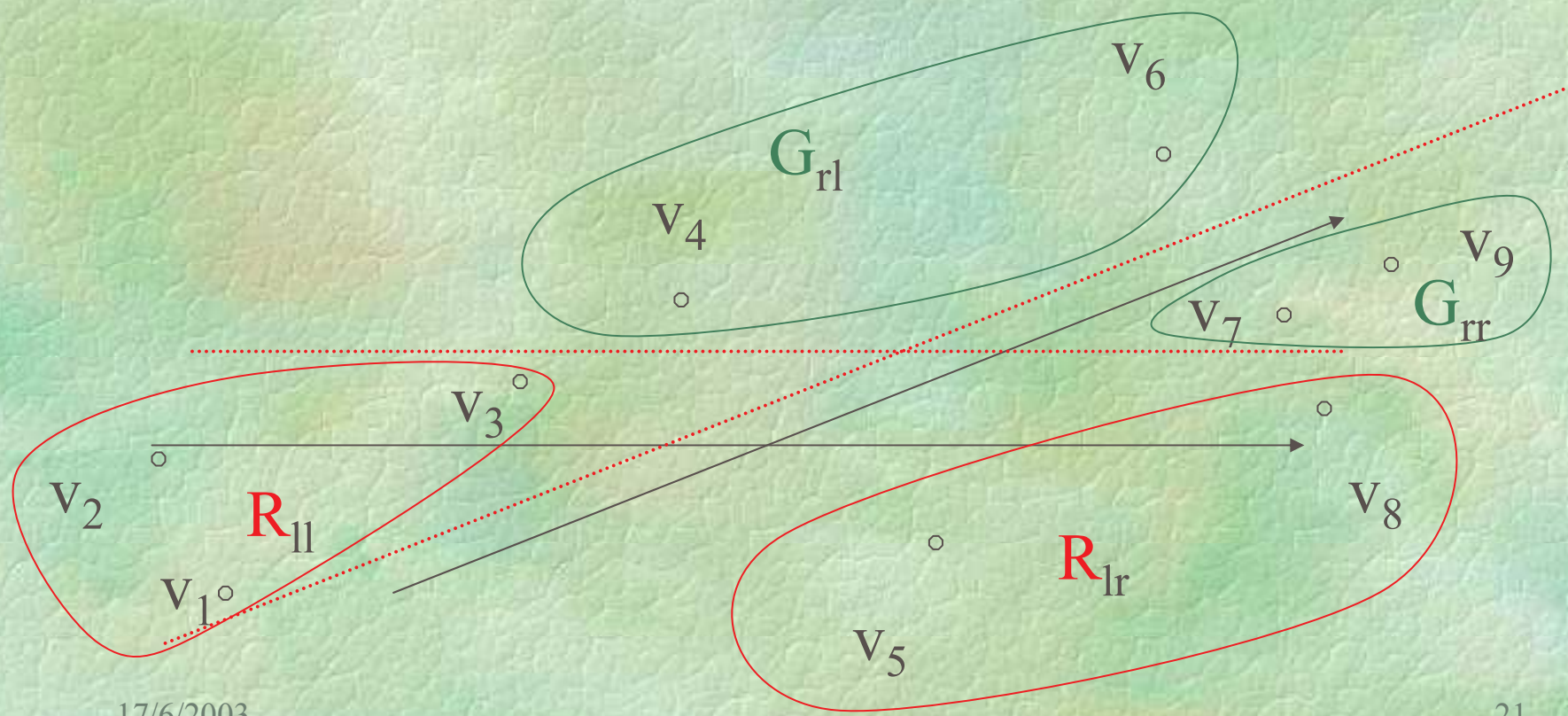
Beispiel für $\alpha\text{-sep}(k, R, G)$

1. $R = G = \{v_1, v_2, v_3, v_4, v_5, v_6, v_7, v_8, v_9\}; k=2$



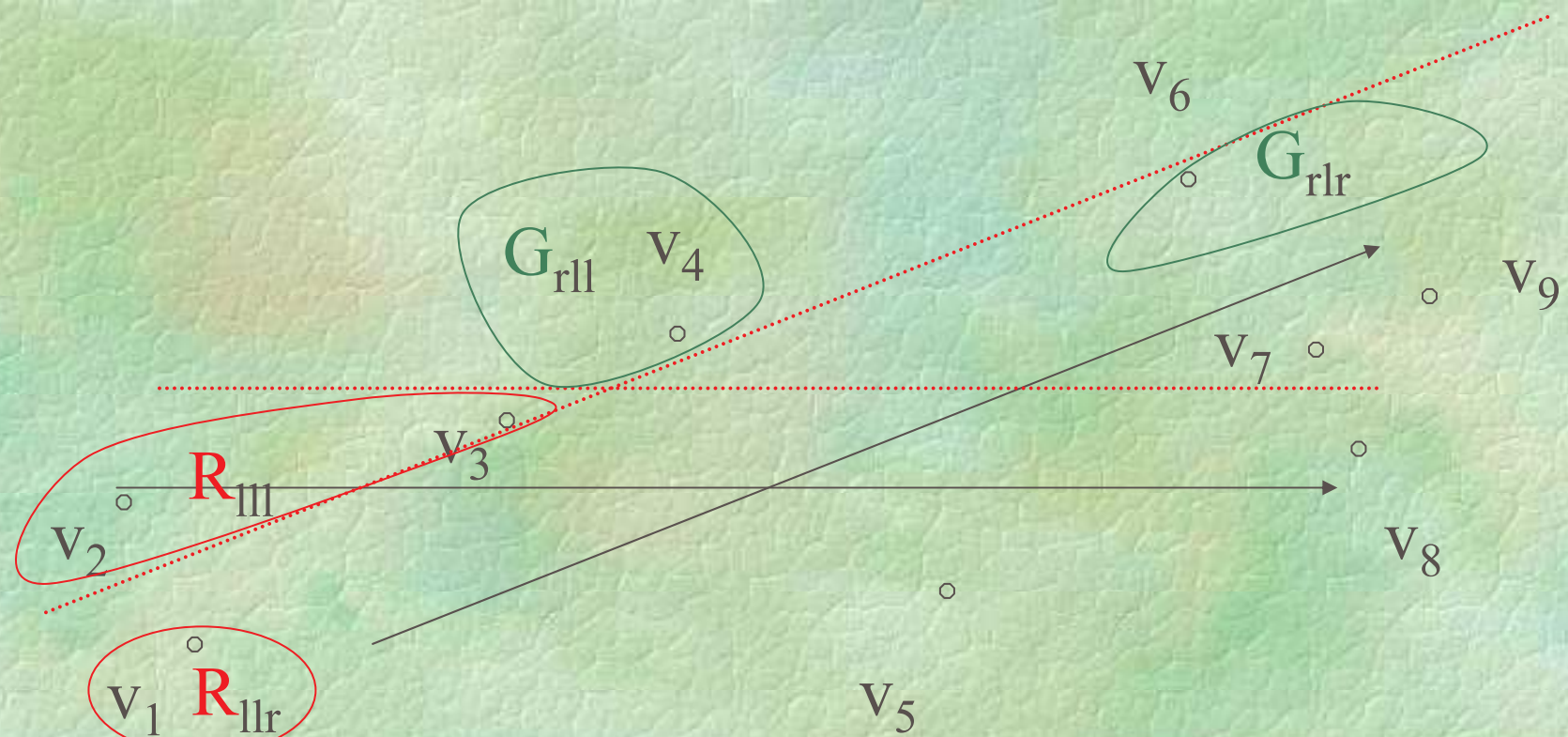
Beispiel für $\alpha\text{-sep}(k, R, G)$

$R_l = \{v_1, v_2, v_3, v_5, v_8\}; G_r = \{v_4, v_6, v_7, v_9\}; k=1$



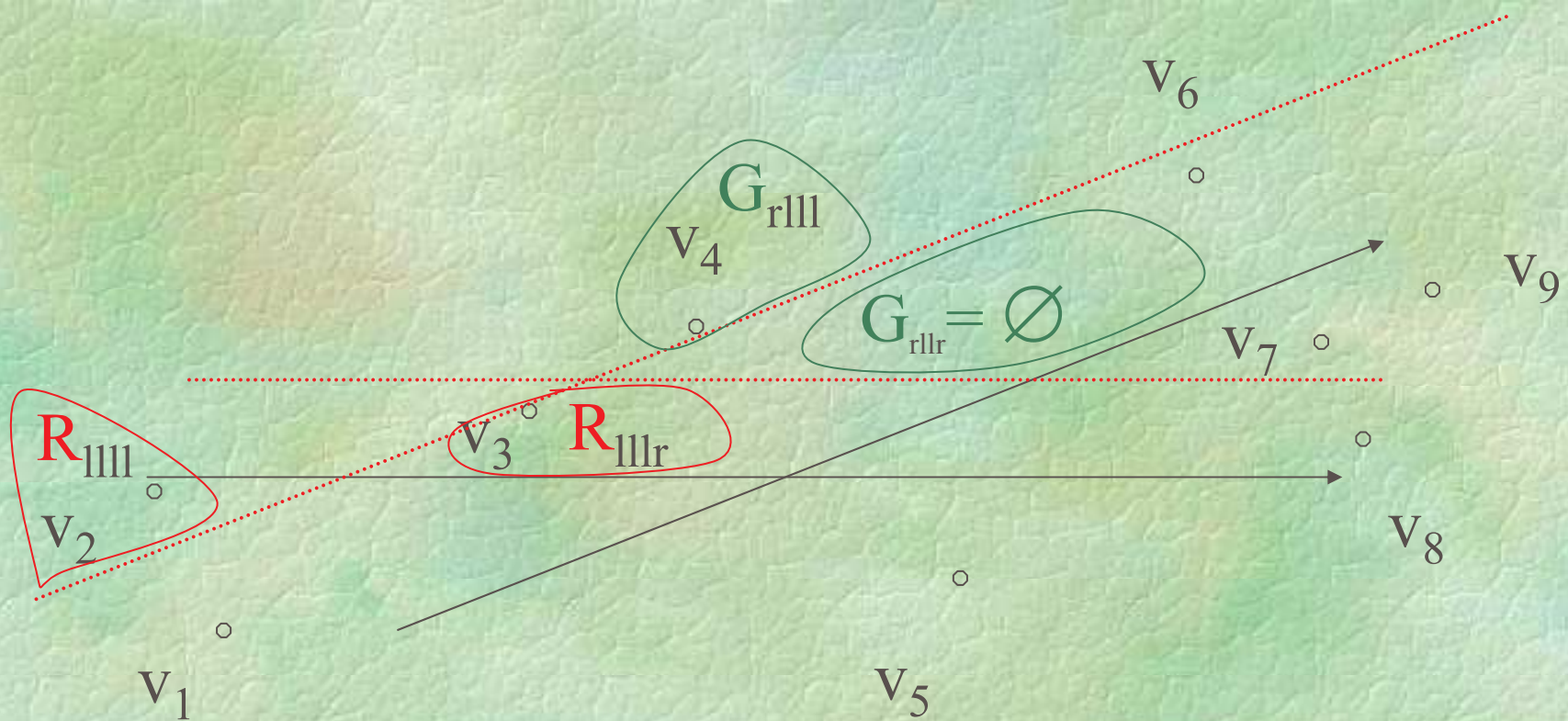
Beispiel für $\alpha\text{-sep}(k, R, G)$

$R_{ll} = \{v_1, v_2, v_3\}; G_{rl} = \{v_4, v_6\}; k=1$



Beispiel für $\alpha\text{-sep}(k, R, G)$

$$R_{lll} = \{v_2, v_3\}; \quad G_{rl} = \{v_4\}; \quad k=1$$



$R = G = \{v_1, v_2, v_3, v_4, v_5, v_6, v_7, v_8, v_9\}; k=2$

$R_l = \{v_1, v_2, v_3, v_5, v_8\}; G_r = \{v_4, v_6, v_7, v_9\}; k=1$

$R_{ll} = \{v_1, v_2, v_3\}; G_{rr} = \{v_7, v_9\}; k=0$

$R_{ll} = \{v_1, v_2, v_3\}; G_{rl} = \{v_4, v_6\}; k=1$

$R_{lll} = \{v_2, v_3\}; G_{rlr} = \{v_6\}; k=0$

$R_{lll} = \{v_2, v_3\}; G_{rll} = \{v_4\}; k=1$

$R_{llll} = \{v_2\}; G_{rllr} = \{\}\}; k=0$

$R_{llll} = \{v_2\}; G_{rlll} = \{v_4\}; k=1$

$R_{lllll} = \{v_2\}; G_{rlllr} = \{v_4\}; k=0$

$R_{lllr} = \{v_3\}; G_{rllr} = \{v_4\}; k=1$

$R_{lllrl} = \{v_3\}; G_{rlrr} = \{v_4\}; k=0$

$R_{llr} = \{v_1\}; G_{rlr} = \{v_6\}; k=1$

$R_{llrl} = \{v_1\}; G_{rlrr} = \{v_6\}; k=0$

$R_{lr} = \{v_5, v_8\}; G_{rr} = \{v_7, v_9\}; k=1$

$R_l = \{v_1, v_2, v_3, v_5, v_8\}; G_l = \{v_1, v_2, v_3, v_5, v_8\}; k=1$

Anzahl α -separierter Paare in E^2

$$t_d(N) \leq 2t_d(N/2) + t_{d-1}(N)$$

$$N / 2^s = 1$$

$$\begin{array}{ccccccccc}
 t_2(N) & \rightarrow & 2^1 t_2(N/2) & \rightarrow & 2^2 t_2(N/2^2) & \rightarrow & 2^3 t_2(N/2^3) & \rightarrow & 2^4 t_2(N/2^4) \dots \dots \dots & 2^s t_2(N/2^s) \\
 \downarrow & & \downarrow & & \downarrow & & \downarrow & & \downarrow \\
 t_1(N) & \rightarrow & 2^2 t_1(N/2) & \rightarrow & (2^2+2^3)t_1(N/2^2) & \rightarrow & (2*2^3+2^4)t_1(N/2^3) \dots \dots \dots ((s-2)*2^{s-1}+2^s)t_1(N/2^{s-1}) & \rightarrow & ((s-1)*2^s+2^{s+1})t_1(N/2^s) \\
 \downarrow & & \downarrow & & \downarrow & & \downarrow & & \downarrow \\
 t_0(N) & & 2^2 t_0(N/2) & & (2^2+2^3)t_0(N/2^2) \dots \dots \dots ((s-3)*2^{s-2}+2^{s-1})t_0(N/2^{s-2}) ((s-2)*2^{s-1}+2^s)t_0(N/2^{s-1}) ((s-1)*2^s+2^{s+1})t_0(N/2^s)
 \end{array}$$

$$1 + 2^2 + (2^2+2^3) + (2*2^3+2^4) + .. + ((s-1)*2^s + 2^{s+1})$$

$$1*2^2 + 2*2^3 + 3*2^4 + .. + (s-1)*2^s = \sum_{i=1}^{s-1} (i*2^{i+1}) = 2^2 (\sum_{i=1}^{s-1} (i*2^{i-1})) = 2^2 (\sum_{i=0}^{s-1} (i*2^{i-1}))$$

$$= 2^2((s-1)*2^s + 1) = 2^2(\log(N/2)*N + 1) \in O(N \log N)$$

Korrektheit und Vollständigkeit von $\alpha\text{-sep}(k, R, G)$

Korrektheit:

- B ist eng \Rightarrow jedes ausgegebene Paar ist α -separiert.

Vollständigkeit:

- ist $\mathbf{g} \in \mathbf{r} + Conv(B)$, dann gibt $\alpha\text{-sep}(k, R, G)$ (R, G) mit $\mathbf{r} \in R$ und $\mathbf{g} \in G$ aus.

Induktion:

$k = 0$: richtig

Annahme: die Behauptung ist richtig für $k = d-1$.

$\mathbf{g} \in \mathbf{r} + Conv(B)$

$\Rightarrow r_i < g_i \quad 1 \leq i \leq d$

$\Rightarrow r_d < g_d$

\Rightarrow Aufruf $\alpha\text{-sep}(d, \mathbf{r} \in R_l, \mathbf{g} \in G_r)$

\Rightarrow Aufruf $\alpha\text{-sep}(d-1, \mathbf{r} \in R_l, \mathbf{g} \in G_r)$.

Anzahl α -separierter Paare

$t_k(n+m)$: max. Anzahl von ausgegebenen α -sep. Paaren bei $|R| = n$, $|G| = m$ und k .

- $t_0(n+m) = 1$
- $t_k(n+m) \leq 2t_k((n+m)/2) + t_{k-1}(n+m).$

d. h. $t_k(n+m) = O((n+m)\log^{k-1}(n+m)) \Rightarrow t_d(N) \in O(N\log^{d-1}N).$

- Laufzeit von Prim's Algorithmus für MST: $O(|E| + N\log N)$
- Von M können wir EMST in $O(N\log^{d-1}N)$ Zeit berechnen.

Berechnung nächster Paare

- Die von $\alpha\text{-sep}(k, R, G)$ ausgegebene α -separierten Paare erfüllen den Bed. von L4
- Für jedes ausgegebene (R, G) mit $|R| = n$ und $|G| = m$ berechnen wir ein nächstes Paar in $T_d^0(n + m)$ Zeit.
- $T_d^k(n + m)$: Laufzeit bei Dimension k und $|R| = n$ und $|G| = m$.
- $T_d^0(n + m) \in \Omega(n + m)$:

$$T_d^k(n + m) = 2T_d^k((n + m)/2) + T_d^{k-1}(n + m) \text{ für } k \geq 1.$$

d.h. $T_d^d(N) \in O(T_d^0(n + m) \log^d N)$.

Berechnung nächster Paare

Satz 5.

- $T_d^0(n + m)$ die Laufzeit um ein BCP für n roten und m grünen Punkten in E^d zu berechnen.

Ein EMST von N Punkten in E^d kann in:

$$O(T_d^0(n + m) \log^d N)$$

Zeit berechnet werden.

Berechnung nächster Paare

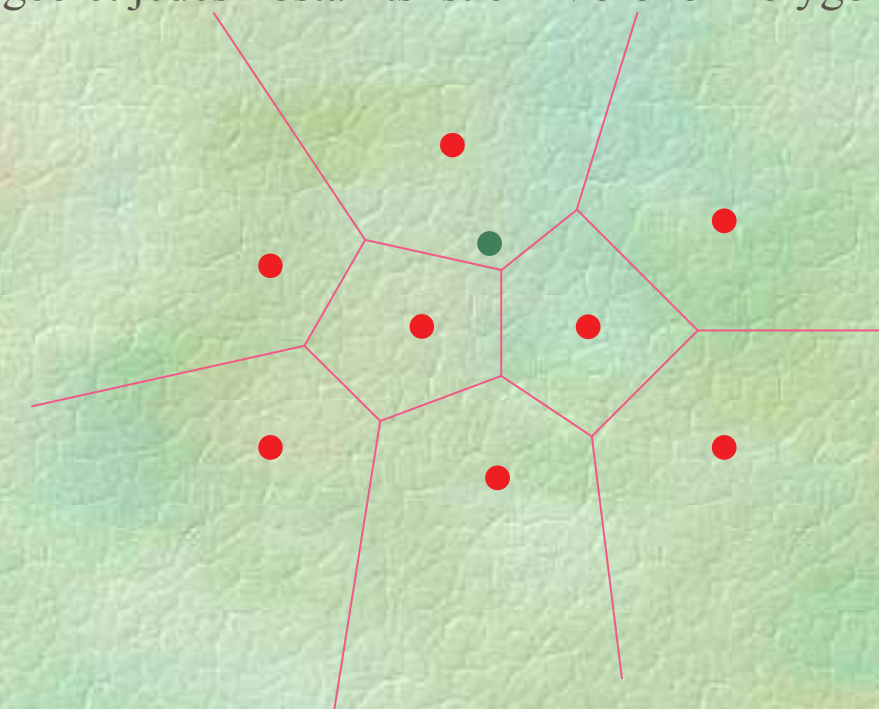
- Lösung des BCP:
für jeden Punkt $\mathbf{g} \in G$ suche seinen nächsten Nachbarn $\mathbf{r} \in R$.
- Triviale Lösung in $O(mn)$.
- Schnellere Lösung:
 - Wähle für R eine Datenstruktur, welche folgendes unterstützt:
Gegeben sei ein Punkt \mathbf{y} in E^d . Welcher Punkt in R ist dann der Nächste zu \mathbf{y} ?
- Die Vorverarbeitung einer solchen Datenstruktur ist in der Literatur als das **Postamt-Problem** bekannt:

Gegeben sind N Punkte P_i (Postämter), bestimme für jedes Postamt das Gebiet, in dem es „zuständig“ (das nächste) ist.

Berechnung nächster Paare

In der 2-dim. Ebene mit Hilfe des Voronoi-Diagramms:

- Grenzen zwischen den Einzugsgebieten benachbarter Postämter sind Teile der Mittelsenkrechten.
- Das Einzugsgebiet jedes Postamts ist ein Voronoi-Polygon, eventuell nach einer Seite offen.



Berechnung nächster Paare

Annahme für das *post office problem*:

- Vorverarbeitung für n Punkte aus E^d in $n^{\lceil d/2 \rceil} p(n) \in \Omega(n^{\lceil d/2 \rceil})$ Zeit,
- Antwort auf nächstes-Paar-Abfragen in polylogarithmischer Zeit $q(n)$.
- $\Omega(n^{\lceil d/2 \rceil})$: kombinatorische Komplexität des Voronoi-Diagramms im *worst case*.

Berechnung nächster Paare

- BCP Lösung:

$$O(n^{\lceil d/2 \rceil} p(n) + mq(n)).$$

- Gut für $m \geq n^{\lceil d/2 \rceil} p(n)/q(n)$ ($G >> R$).

- $n^{\lceil d/2 \rceil} > mq(n)/p(n)$:

- teile R in $t = \lceil n((p(n)/mq(n)))^{\lceil d/2 \rceil} \rceil > 1$ Untermengen R_1, R_2, \dots, R_t jeweils der Größe höchstens $\lceil n/t \rceil$.
 - für jedes (R_i, G) obige Methode anwenden

- Laufzeit:

$$\begin{aligned} & O(t((n/t)^{\lceil d/2 \rceil} p(n/t) + mq(n/t))) \\ &= O(nm^{1 - 1/\lceil d/2 \rceil} p(n)^{1/\lceil d/2 \rceil} q(n)^{1 - 1/\lceil d/2 \rceil}) \end{aligned}$$

Berechnung nächster Paare

Lemma 6.

- *post office problem hat:*
 - $n^{\lceil d/2 \rceil} p(n)$ Vorverarbeitungszeit,
 - $q(n)$ Suchezeit.

Das BCP Problem für eine Menge von n roten und m grünen Punkten in E^d kann in

$$O(nm^{1 - 1/\lceil d/2 \rceil} p(n)^{1/\lceil d/2 \rceil} q(n)^{1 - 1/\lceil d/2 \rceil} + mq(n))$$

gelöst werden.

BCP vs. EMST

Unser Algorithmus:

- lösen das BCP-Problem → Berechnen einen EMST
- Wenn $BCP \in T_d^0(n+m)$ → $EMST \in O(T_d^0(2N)\log^d N)$

Wichtig

- Ein EMST von der Vereinigung der grünen und roten Punkten enthält mindestens ein nächstes rot-grün Paar.
- Berechnen einen EMST → lösen das BCP-Problem

Euclidean minimum spanning trees and bichromatic closest pairs

EMST:

- Stark separierte Paare und EMST (Lemma 1)
- EMST und extreme Elemente (Lemma 2)
- Extreme Elemente und separierte Paare (Lemma 3)
- α -separierte Paare und nächste Paare (Lemma 4)
- Algorithmus um α -sep. Paare zu berechnen.
- Nächstes Paar (BCP) zwischen jedem α -sep. Paar finden.
- EMST aus den Nächsten Paaren bestimmen.

BCP:

- Postamt-Problem und Voronoi-Diagramm
- Algorithmus um BCP schnell zu bestimmen

EMST vs. BCP